

Legende / Legenda:
 Projekt / Progetto

Stratigraphie - Lithologie / Stratigrafia - Litologia

| Geologische Einheit Unità geologica | Geotechnische Einheit Unità geotecnica |
|--|---|
| Brixner Granit / Granito di Bressanone | Terreno E |
| Postglaziale fluviale Ablagerungen / Depositi fluviali postglaciali | Terreno C |
| Postglaziale fluviale Ablagerungen Feinkörniger Fazies / Depositi fluviali postglaciali Facies a gran. fine | Terreno C1 |
| Hangschuttkegel / Cono detritico | Terreno B |
| Murmateriale / Materiale di debris flow | Terreno A |
| Aufschüttungen / Riporti antropici | Terreno D |

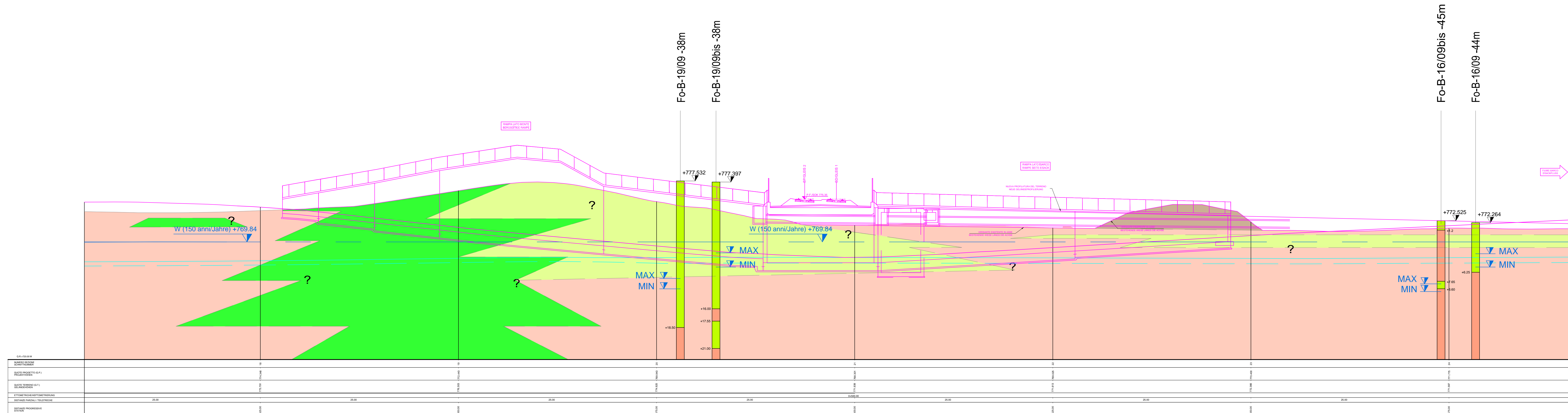
Legenda colonna stratigrafica / Legenda colonna stratigrafica

| Geologische Einheit Unità geologica | Geotechnische Einheit Unità geotecnica |
|--|---|
| Brixner Granit / Granito di Bressanone | Terreno E |
| Postglaziale fluviale Ablagerungen / Depositi fluviali postglaciali | Terreno C |
| Postglaziale fluviale Ablagerungen Feinkörniger Fazies / Depositi fluviali postglaciali Facies a gran. fine | Terreno C1 |
| Hangschuttkegel / Cono detritico | Terreno B |
| Murmateriale / Materiale di debris flow | Terreno A |
| Aufschüttungen / Riporti antropici | Terreno D |

Strukturelle Symbole / Simboli strutturali
 Karaklasi / Cataclasi
 Störung / Faglia

Diverse weitere Zeichen / Simboli vari
 - Levello di falda medio / Livello di falda medio
 - Levello di falda massimo / Livello di falda massimo

| | | |
|--|---|--|
| | Interpretiertes Aufschlußprofil Nahbereich | Profilo stratigrafico interpretato in vicinanza |
| | Interpretierte geologische Situation in betrachteten Profilschnitten (7 bischer Profilschnitte) | Situazione geologica interpretata in sezione (7 tracce in sezione nella proposta) |
| - 30m = | Normalabstand zur Trasse, links der Trasse in Kilometerrichtung | Distanza normale del tracciato, a sinistra dello stesso in direzione delle progressive crescenti |
| + 30m = | Normalabstand zur Trasse, rechts der Trasse in Kilometerrichtung | Distanza normale del tracciato, a destra dello stesso in direzione delle progressive crescenti |
| Fo / MW / GT / ITE | Kernbohrungen | Sondaggi |
| 150 jährliches Hochwasser / piena tempo di ritorno ogni 150 anni | | |



| Bearbeitungsstand / Stato di elaborazione | | | | |
|---|--|---------------------------------|---------------------|--------------|
| Revision / Revisione | Änderungen / Modifiche | Verantwortlicher / Responsabile | Änderung / Modifica | Datum / Data |
| 00 | Estension / Prima Versione | E. Calcut | | 30.11.2015 |
| 01 | Anmerkungen BBT vom 15.12.2015 / Osservazioni BBT del 15.12.2015 | E. Calcut | | 14.01.2016 |
| 02 | | | | |
| 03 | | | | |
| 04 | | | | |
| 05 | | | | |

| GEOLOGISCHE EINHEIT UNITÀ GEOLOGICA | Murmateriale, Hangschuttkegel, Postglaziale fluviale Ablagerungen Materiale di debris flow, Cono detritico, Depositi fluviali postglaciali | | | Murmateriale, Postglaziale fluviale Ablagerungen Materiale di debris flow, Depositi fluviali postglaciali | | Postglaziale fluviale Ablagerungen, untergeordnet Murmateriale Depositi fluviali postglaciali, in maniera subordinata materiale di debris flow | | Murmateriale, Postglaziale fluviale Ablagerungen Materiale di debris flow, Depositi fluviali postglaciali | |
|--|---|-------------------------------|-------------------------------|--|-------------------------------|---|-------------------------------|--|--|
| | BA MS - 01 (40%) Terreno A | BA HS - 02 (45%) Terreno B | BA AL - 03 (15%) Terreno C | BA MS - 01 (60%) Terreno A | BA AL - 03 (40%) Terreno C | BA AL - 03 Terreno C | BA MS - 01 (60%) Terreno A | BA AL - 03 (50%) Terreno C | |
| Wichte (kN/m³) | 19-22 | 19-22 | 19-22 | 19-22 | 19-22 | 19-22 | 19-22 | 19-22 | |
| Peso di volume (kN/m³) | 19-22 | 19-22 | 19-22 | 19-22 | 19-22 | 19-22 | 19-22 | 19-22 | |
| Kohäsion Mohr-Coulomb [kPa (Fels)] / [kPa (Boden)] Coesione Mohr-Coulomb [kPa (roccia)] / [kPa (terre)] | 0-35 | 0-35 | 0-35 | 0-35 | 0-35 | 0-5 | 0-5 | 0-5 | |
| Reibungswinkel Mohr-Coulomb [°] Angolo di attrito Mohr-Coulomb [°] | 25-45 | 25-37 | 25-39 | 25-39 | 25-39 | 33-39 | 33-39 | 33-39 | |
| Modulo di ammasso [GPa] | | | | | | | | | |
| Modulo elastico [MPa] | 25-120 | 40-120 | 25-120 | 25-120 | 25-120 | 25-80 | 25-120 | 25-120 | |
| Durchlässigkeitbeiwert kf [m/s] Coefficiente di permeabilità kf [m/s] | 5E-2 - 1E-6 | 1E-3 - 1E-6 | 1E-3 - 1E-6 | 1E-3 - 1E-6 | 1E-3 - 1E-6 | 1E-3 - 1E-6 | 1E-3 - 1E-6 | 1E-3 - 1E-6 | |
| Besonderheiten/Hinweise Particolarità/annotazioni | hohes Blockrisiko (Blöcke bis 02,5m erkundet) alto rischio di blocchi (rinvenuti blocchi fino a 02,5m) | | | hohes Blockrisiko (Blöcke bis 02,5m erkundet) alto rischio di blocchi (rinvenuti blocchi fino a 02,5m) | | hohes Blockrisiko (Blöcke bis 02,5m erkundet) alto rischio di blocchi (rinvenuti blocchi fino a 02,5m) | | hohes Blockrisiko (Blöcke bis 02,5m erkundet) alto rischio di blocchi (rinvenuti blocchi fino a 02,5m) | |
| Geologische Prognoseunsicherheit Grado di incertezza della previsione geologica | gering scarsa | | | gering scarsa | | gering scarsa | | gering scarsa | |

BRENNER BASISTUNNEL
 Ausbauprojekt
 Potenziamento asse ferroviario Monaco - Verona
GALLERIA DI BASE DEL BRENNERO
 Progetto esecutivo

Sub-Baulos Hauptbauwerke Eisackunterquerung
 Sublotto di costruzione Opere Principali Sottotraversamento Isarco

Farbereich: Setto
 Thema: 08 - Spostamento linea storica
 Streckenplanung und Bauwerksplanung: Progettazione del tracciato e dell'opera
 Dokumentart: Tipo documento
 Längsprofil: Profilo longitudinale
 Titel: Geotechnische Profil / Profilo geotecnico sottopasso
 Unterführung

Geotechnische Profil / Profilo geotecnico sottopasso

02 H71 AF 002 08 01 031.02 B0115 04095 0A9 01